

### III-46 線形粘弾性論による粘性土の減衰特性に関する考察

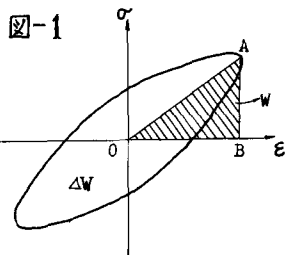
京都大学工学部 正員〇赤井浩一  
京都大学大学院 学生員岡野真久

#### 1 まえがき

一般に物質が振動の場におかれると、入力エネルギーのいくらかは種々の機構で消散するが、これは内部摩擦といふ言葉で総称される。土の内部摩擦の機構を調べることにより、土の変形特性を明らかにするという立場から、縱振動する粘性土の減衰特性を10~40 cpsで調べ線形粘弾性論による説明を試みた。今回は含水比(40%)、圧密荷重(0.5 kg/cm<sup>2</sup>)をほぼ一定にして、振動数による影響を中心に考察した。

#### 2 減衰の表示

振動時のエネルギー消散を定義する最も直接的な方法は変形のサイクルを通じて試料内の実際のエネルギー消散を測定することである。図-1に示すように、ひずみが最大のとき供試体内にたくわえられる最大全弾性エネルギーW(△OABの面積)に対する変形の1サイクル当りの消散エネルギー



$-ΔW$ (応力-ひずみ曲線のヒステレシスループで閉ざされた面積)の比を「比減衰エネルギー」という。一方「対数減衰率  $δ_T$ 」は引き続いて起こる自由振動  $U_n, U_{n+1}$  の比の自然対数であり、また応答ひずみと応力間に現われる「位相差  $δ$ 」は正弦的な強制振動に対して認められるものであって、これらはいずれも振動減衰の一つの間接的な尺度である。これらの量には次の近似関係がある。

$$\Psi = \Delta W/W \doteq d \log_e W = \log_e (U_n/U_{n+1})^2 = 2\delta_T$$

強制振動の場合、角速度を  $ω$  として応力とひずみをそれぞれ  $\sigma = σ_0 \sin ωt$ ,  $ε = ε_0 \sin(ωt - δ)$  とすれば

$$W = \frac{1}{2} σ_0 ε_0, \quad \Delta W = ∫ σ dε = σ_0 ε_0 π sin δ = σ_0 ε_0 π tan δ$$

であるから  $\Psi = 2π tan δ$  となる。ここで複素弾性率を  $E^* = E_1 + iE_2$  とすれば  $tan δ = E_2/E_1$  である。以上より次の近似関係が成立する。  $tan δ = δ_T/π$  (1)

次に線形粘弾性体の一次元波動伝播を考えると、複素速度  $C^* = (E^*/ρ)^{1/2}$  で伝わる波の波動関数は  $U(x, t) = U_0 \exp[iω(t - x/C^*)]$  ただし  $ω$  は角速度、  $ρ$  は密度 (2) で表わされる。ここで  $1/C_* = Re(1/C^*)$ ,  $δ = ω Im(1/C^*)$  ただし  $1/C^* = Re(1/C^*) - iIm(1/C^*)$  (3) とおく。式(2)式は  $U(x, t) = U_0 \exp[iω(t - x/C_*)] \cdot \exp(-δx)$  となる。したがって (3)式により

$$C_* = \left( \frac{E_1^2 + E_2^2}{ρ E_1} \right)^{1/2} = \left( \frac{\sqrt{E_1^2 + E_2^2}}{ρ} \right)^{1/2} \cdot \frac{1}{\cos(δ/2)} \quad (4)$$

$$δ = ω \left( \frac{ρ E_2}{E_1^2 + E_2^2} \right)^{1/2} = ω \left( \frac{ρ}{\sqrt{E_1^2 + E_2^2}} \right)^{1/2} \cdot \sin \frac{δ}{2} = \frac{ω}{C_*} \tan \frac{δ}{2} = \frac{ω \tan δ}{2 C_*} = \frac{ω \delta_T}{2 C_* \pi} \quad (5)$$

となる。一般に波速  $C_*$ , 減衰係数  $δ$ , 位相の遅れ  $tan δ$  は周波数に関係し、(4), (5)式によりこれらのうち2つが周波数の関数として与えられれば、その線形粘弾性体としての特性が決まる。

Voigt モデル;  $\tan \delta = \omega T_* = 2\pi f T_*$  ここで  $T_* = C/R$

Maxwell モデル;  $\tan \delta = 1/\omega T_* = 1/2\pi f T_*$  ここで  $T_* = C/R$

S-V モデル;  $\tan \delta = \omega T_* / \{(1+R_*) + R_* C^2 \omega^2\} = 2\pi f T_* / \{(1+R_*) + 4\pi^2 R_* T_*^2 f^2\}$  ここで  $\left\{ \begin{array}{l} R_* = \frac{R}{R'} \\ T_* = \frac{C}{R} \end{array} \right.$  (9)

近似には無理があるが  $\delta_T/\pi \approx \tan \delta$  が成立すると仮定して、(9)式により 30 cps で  $\tan \delta = 0.3$  となるように  $R_*$  と  $T_*$  をそれぞれ求めた。S-V モデルについても強制振動の  $\omega$  も考慮すると  $T_* = 0.02 \sim 0.03$  (sec),  $R_* = 0.5 \sim 1.0$  になると考えられる。これらの  $\tan \delta$  と  $f$  の関係を図-4 に記入した。

#### 4. 時間載荷実験の解析例

上のようにして得たパラメータを用いて S-V モデルにより、図-3 のように得られる実験記録の説明を試みた。振動系を図-6 のようにモデル化する。振動方程式は次のようになる。

$$\ddot{U} + \frac{R' + R}{C} \dot{U} + \frac{R'R}{mC} U = \frac{R' + R}{mC} F(t) + \frac{\dot{F}(t)}{m} \quad (10)$$

(10)式を  $F(t) = F_0 H(t)$  ( $H(t)$  はヒサゲのステップ関数),  $U(0) = 0$ ,  $\dot{U}(0) = 0$ ,  $\ddot{U}(0) = 0$  の条件で解くと

$$U(T) = \frac{F_0}{m\omega_0^2} \left\{ 1 + A_1 e^{j\omega_0 T} + e^{j\omega_0 T} (B_1 \cos \zeta T + C_1 \sin \zeta T) \right\} \quad (11)$$

$$P(T) = F_0 \left\{ 1 + A_2 e^{j\omega_0 T} + e^{j\omega_0 T} (B_2 \cos \zeta T + C_2 \sin \zeta T) \right\}$$

を得る。ここで  $j\omega_0$ ,  $(\beta_0 + j\gamma_0)\omega_0$  は 3 次代数方程式  $S^3 + \left\{ \left( \frac{1}{R_*} + 1 \right) \omega_0 / \zeta \right\} S^2 + \left\{ \left( \frac{1}{R_*} + 1 \right) \omega_0^2 S + \left( \frac{1}{R_*} + 1 \right) \omega_0^3 / \zeta \right\} = 0$  の 3 根であり、 $R_* = R/R'$ ,  $\omega_0 = \sqrt{R'/R} / (R + R') m$ ,  $T_* = C/R$ ,  $T = \omega_0 t$ ,  $\zeta = \omega_0 T_*$  である。 $A_1$ ,  $A_2$ ,  $B_1$ ,  $B_2$ ,  $C_1$ ,  $C_2$  はいずれも  $\alpha_0$ ,  $\beta_0$ ,  $\gamma_0$  で表わされる定数である。 $R_* = 1$  の場合の  $U(T)$ ,  $P(T)$  を  $\omega$  をパラメーターにして図-7 に示した。

次に立ち上がり時間有するステップ状載荷に対する系の応答を(11)式を用いて次式により計算した。

$$U_r(T) = \int_0^T [U(T-T')] \cdot \frac{dF}{dT} dT', P_r(T) = \int_0^T [P(T-T')] \cdot \frac{dF}{dT} dT'$$

無次元化量  $\bar{U}(T) = \frac{U_r(T)}{F_0/m\omega_0}$ ,  $\bar{P}(T) = \frac{P_r(T)}{F_0}$  を用いて

測定データと比較した一例を図-8 に示す。この例では  $t = 150$  msec における変位の測定値は 0.7 mm, モデルによる計算値  $U(\infty) = 0.8$  mm であった。

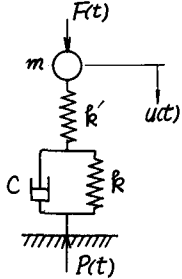
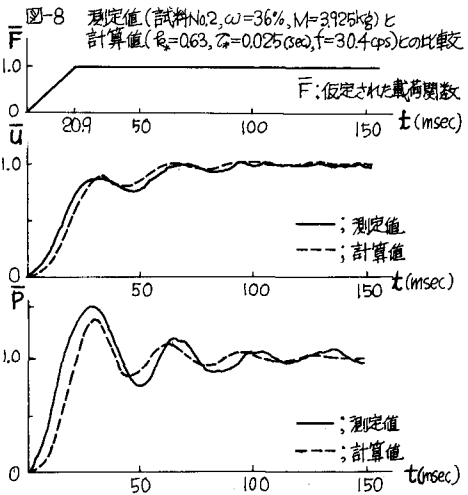
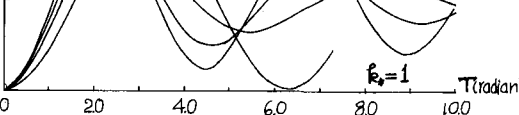
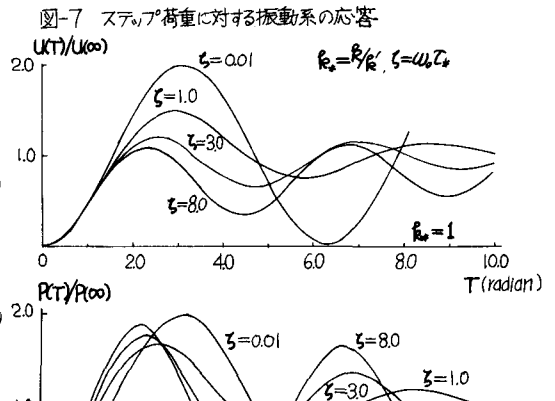


図-6 振動モデル



### 3 自由振動実験の概要と結果の考察

表-1に示すような物理的性質をもつ粘土供試体(直径35mm、高さ80mm)を図-2に示す実験装置で、Q点で糸を切断することにより一軸瞬時載荷を行ない、供試体上端部の変位と加速度、下端部での圧力を測定した。実測記録の一例を図-3に示す。上載荷重M<sub>1</sub>を変えることにより振動数は変化する。加速度記録の自由振動とみなせる部分の対数減衰率δ<sub>T</sub>と周期Tを求め、δ<sub>T</sub>/πを振動数fについて整理した(図-4)。また同じ試料について側圧σ<sub>3</sub>=1kg/cm<sup>2</sup>のもとでの同様な自由振動実験と振動三軸試験機による強制振動実験から得られたδ<sub>T</sub>/πとfの関係も参考として示しておいた。<sup>1)</sup>調べた振動数範囲は広いものではないが粘土のδ<sub>T</sub>/πの振動数依存性はそれほど大きくないと言えよう。

各固有周期で自由振動する粘土試料と重錘との系をそれぞれVoigtのモデル(ばね定数k、粘性定数C)と質量mの一自由度振動系にモデル化すると質量mの変位uは次式で表わされる。

$$u = u_0 e^{-\frac{C}{2m}t} \cos \left( \sqrt{\frac{k}{m}} - \frac{C^2}{4m^2} t - \theta \right)$$

対数減衰率の定義により次の関係を得る。

$$\delta_T = \log_e \frac{\ddot{u}_n}{\ddot{u}_{n+1}} = \frac{C}{2m} \cdot T = \frac{2\pi C}{\sqrt{4km - C^2}} \quad (6)$$

よって  $C = 2m\delta_T/T$ ,  $k = m(\delta_T^2 + 4\pi^2)/T^2$  (7)  
ここにmはRayleighによる振動系質量を用いた。  
このようにして求めたkとCの振動数との関係を図-5に示した。また振動系の粘性減衰の量は粘性定数Cとその周期性をもつ限界の値C<sub>crit</sub>との比 $\eta$ (減衰定数)でも表わされるが、 $\eta$ と対数減衰率δ<sub>T</sub>/πには次の関係がある。

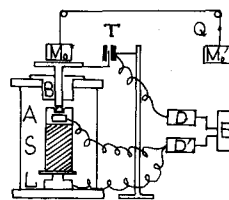
$$\eta = \frac{C}{C_{crit}} = \frac{C}{2m\omega} = \frac{C}{2\sqrt{mk}} = \frac{\delta_T}{2\pi} \quad (8)$$

次にVoigtのモデル(ばね定数k、粘性定数C)、Maxwellのモデル(ばね定数k'、粘性定数C)、ばねとVoigtの直列三要素モデル(k', k, C)(以後S-Vモデルと称す。図-6参照)についてtanδを振動数fとk', k, Cで表わすと次式を得る。

表-1 粘土試料の物理的性質

試料番号	No.1	No.2	No.3
比重	2.67	2.73	2.60
粘土分	39%	23%	12.5%
シルト分	44%	57%	71%
砂分	17%	20%	16.5%
含水比	40~45%	36~40%	38~43%
液性限界	52.8%	48.9%	51.5%
塑性指数	27.2%	24.4%	31.8%

図-2 実験装置



- M<sub>1</sub>: 錘り
- M<sub>2</sub>: 対重
- S: 粘土供試体
- B: ボーラブル・シャンク
- △: 加速度計
- T: 変位計
- D,D: 増幅器
- E: 電磁オシロ
- L: ロードセル

図-3 測定記録の一例

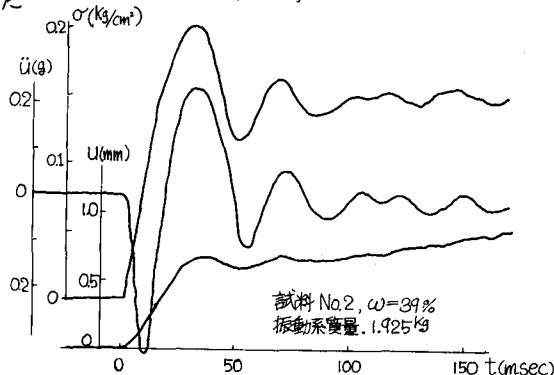


図-4

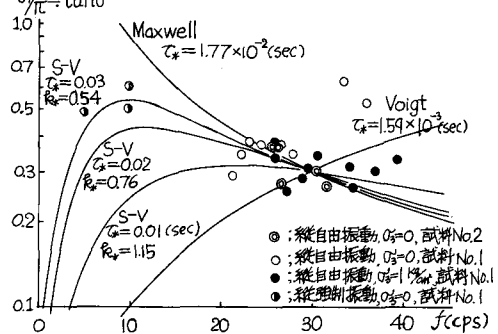
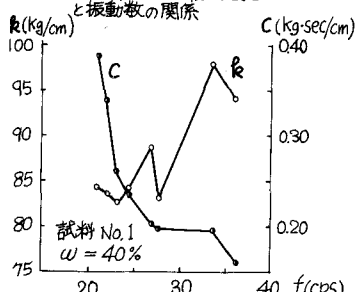


図-5 ばね定数、および粘性定数と振動数との関係



## 5 土柱の一次元応力波伝播問題への適用

各振動数においてそれぞれ Voigt モデルを仮定して自由振動実験より得たばね定数  $E_1$  と粘性定数  $C_1$  を  $E = (\beta/A)k$ ,  $\gamma = (\beta/A)C$  によって供試体(断面積  $A$ , 長さ  $l$ )の平均的弾性係数  $E$  と粘性係数  $\gamma$  に置き換える。このようにして得た  $E$  と  $\gamma$  を用ひて複素弾性率は  $E^* = E_1 + iE_2 = E + i\omega\gamma$  と表わされる。この関係から動的弾性率  $E^*$  を求め、また式(4), (5)により維波の位相速度  $C_s$ , 減衰係数  $\alpha$  を推算し図-9に示した。ただし周波数  $0$  の動的弾性率  $E^0$  はひずみ速度  $1\%/\text{min}$  の一軸圧縮試験より求めた応力-ひずみ曲線の初期接線勾配にほぼ等しいとしてプロットした。これより粘土を複形粘弹性体とみれば、 $20 \sim 40 \text{ cps}$  で減衰はほとんど変化なく、減衰係数は周波数に対してほぼ直線的に増加することが推定される。

また S-V モデルについては図-10 に示した記号を用いて  $E^* = \frac{(1+k_s) + k_s C_s^2 \omega^2}{(1+k_s)^2 + k_s^2 C_s^2 \omega^2} E + i \frac{C_s \omega E}{(1+k_s)^2 + k_s^2 C_s^2 \omega^2}$  (12) を計算すると  $E_1/E^0$ ,  $G/C_s^0$  ( $G$  は周波数  $0$  の波速),  $\alpha$  の周波数  $f$  との関係が図-9 の実験のように得られる。ただし  $\alpha$  については  $f=20 \text{ cps}$  で  $C_s = 50 \text{ m/sec}$  を仮定して計算した。このようにして S-V モデルにより得た減衰係数  $\alpha$  を  $10 \text{ cps}$  と  $20 \text{ cps}$  について図-11 に記入し、別の試料 (No.3) での実験結果と比較した。なおこの実験は粘土供試体(直径  $6 \text{ cm}$ , 長さ  $60 \text{ cm}$ )を鉛直に立て、振動三輪車装置の起振機により 4 種の周波数の正弦波をその頭部に与え、埋設した圧力計により圧力振幅の減衰を測定したものである。

## 6 むすび

粘性土の減衰特性を表わす中、 $\delta_r$ ,  $\gamma$  などの量は、この実験の範囲では振動数にそれほど大きく依存しない。このような特性を三要素複形粘弹性モデル (S-V モデル) により表わすことができる。基礎の耐震設計など特定振動数帯を問題にする時には土のこのようなモデル化が有効であろう。この実験の振動数範囲で、ほぼ同じパラメータ値の S-V モデルにより、振動減衰にひとなう粘性土の挙動と、応力波の減衰特性を統一的に説明づけた。

参考文献 1) 赤井, 山内; 衝撃的荷重に対する飽和粘土の応答特性, 土木学会論文集 第149号, 1968

2) K.Akai, M.Tokuda, T.Kiuchi; Experimental Study on the Propagation of Stress Wave in Cohesive Soils, Proc. JSCE, No. 161, 1969.

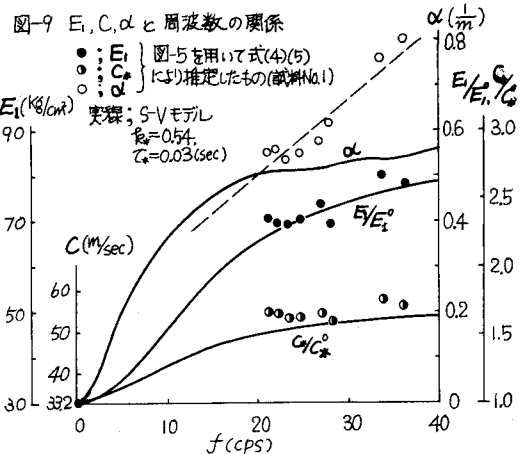


図-10

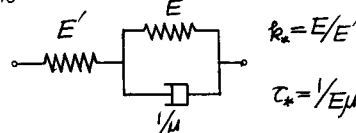


図-11 応力振幅の減衰

無次元化応力振幅

